

Obliczenia naukowe

Sprawozdanie nr 2

Barbara Banaszak
236514

5-11-2018

1 Zadanie 1

1.1 Opis problemu

Zadanie polega na powtórzeniu obliczeń z zadania 5, z listy 1 po dokonaniu dwóch nieznaczących zmian (usuwamy ostatnią 9 z x_4 i ostatnią 7 z x_5 , czyli obliczeniu iloczynu skalarnego wektorów:

$x = [2.718281828, -3.141592654, 1.414213562, 0.577215664, 0.301029995]$

$y = [1486.2497, 878366.9879, -22.37492, 4773714.647, 0.000185049]$

1.2 Rozwiązanie

Powtarzamy obliczenia, jakie wykonywaliśmy w zadaniu 5 z listy 1, dla arytmetyki Float32 i Float64:

1. $\sum_{i=1}^5 x_i y_i$
2. $\sum_{i=5}^1 x_i y_i$
3. dodajemy dodatnie liczby w porządku od najmniejszej do największej, ujemne w porządku od największej do najmniejszej, poczym dodajemy do siebie sumy częściowe
4. odwrotność punktu 3.

1.3 Wyniki

| Zadanie 5, Lista 1 | | |
|--------------------|------------|-------------------------|
| Sposób | Float32 | Float64 |
| 1. | -0.4999443 | 1.0251881368296672e-10 |
| 2. | -0.4543457 | -1.5643308870494366e-10 |
| 3. | -0.5 | 0.0 |
| 4. | -0.5 | 0.0 |
| Bieżące wyniki | | |
| Sposób | Float32 | Float64 |
| 1. | -0.4999443 | -0.004296342739891585 |
| 2. | -0.4543457 | -0.004296342998713953 |
| 3. | -0.5 | -0.004296342842280865 |
| 4. | -0.5 | -0.004296342842280865 |

1.4 Wnioski

Możemy zauważyć, że w przypadku arytmetyki Float32 dokonane zmiany nie wpłynęły na otrzymane wyniki. Stało się tak, dlatego że precyzja tej arytmetyki (rzędu 10^{-7}) jest znacząco mniejsza niż precyzja zapisu liczb (rzędu 10^{-9}), w

których dokonaliśmy zmian. Natomiast dla obliczeń w arytmetyce Float64 dokonane zmiany sprawiły, że otrzymaliśmy zupełnie inne wyniki. Precyzja arytmetyki jest na tyle duża, że zmiany zostały uchwycone. Możemy także zauważyć, że dla każdego sposobu obliczenia iloczynu skalarnego otrzymaliśmy niemal identyczne wyniki, co pozwala przypuszczać, że wynik ten jest poprawny.

2 Zadanie 2

2.1 Opis problemu

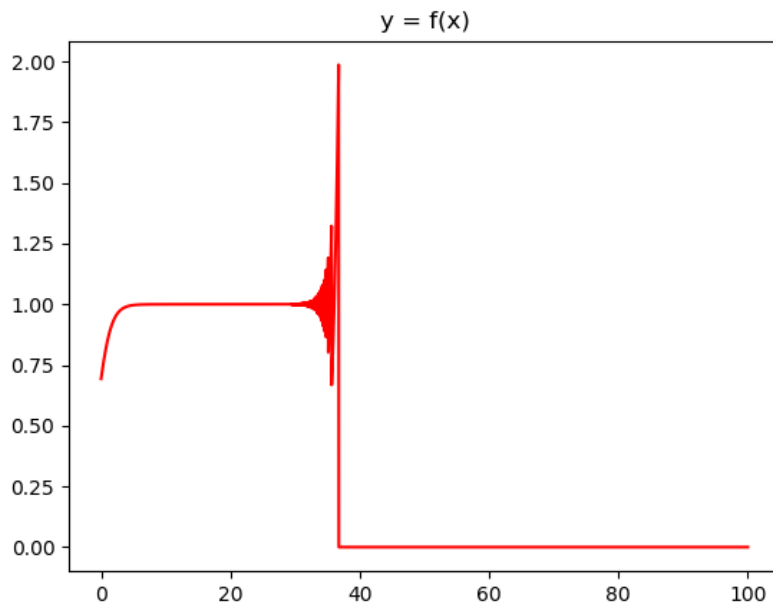
W zadaniu mamy policzyć granicę funkcji $f(x) = e^x \ln(1 + e^{-x})$ $\lim_{x \rightarrow \infty} f(x)$ oraz porównać obliczoną granicę z wykresami tej funkcji.

2.2 Rozwiązanie

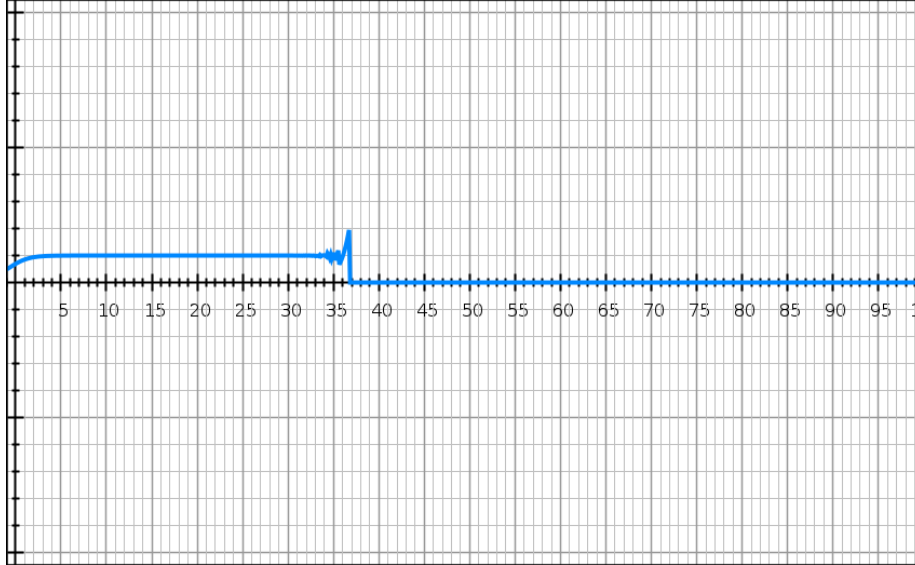
Wykresy funkcji $f(x) = e^x \ln(1 + e^{-x})$ narysujemy przy użyciu biblioteki Pythona matplotlib oraz programu graphskech.

2.3 Wyniki

Wykres funkcji $f(x) = e^x \ln(1 + e^{-x})$ wykonany z użyciem matplotlib:



Wykres funkcji $f(x) = e^x \ln(1 + e^{-x})$ wykonany przy użyciu graphsketch:



Granica $\lim_{x \rightarrow \infty} f(x)$ policzona analitycznie z wykorzystaniem reguły d'Hospitala:

$$\lim_{x \rightarrow \infty} e^x \ln(1 + e^{-x}) = \lim_{x \rightarrow \infty} \frac{\ln(1 + e^{-x})}{e^{-x}} = \left[\frac{0}{0} \right] = \lim_{x \rightarrow \infty} \frac{\frac{d}{dx} \ln(1 + e^{-x})}{\frac{d}{dx} e^{-x}} = \lim_{x \rightarrow \infty} \frac{-e^{-x}}{-e^{-x}(e^{-x} + 1)} = \lim_{x \rightarrow \infty} \frac{1}{e^{-x} + 1} = 1$$

2.4 Wnioski

Wyraźnie widać, że granica funkcji wyliczona analitycznie nie pokrywa się z granicą funkcji jaką sugerują nam narysowane wykresy. Z wykresów wynika, że $\lim_{x \rightarrow \infty} f(x) = 0$, natomiast w rzeczywistości wynosi ona 1. Na wykresach możemy także zaobserwować dość nietypową oscylację w przedziale $(30, 40)$ niecharakterystyczną dla funkcji $f(x)$. Zaburzenia te wywołuje dodawanie bardzo małej wartości e^{-x} do jedynki, a potem mnożenie otrzymanej wartości przez dużą liczbę e^x . Widzimy także, że wartości funkcji kończąc oscylować, gwałtownie spadają do 0. Dzieje się tak dlatego, że wartości e^{-x} są na tyle małe, że zostają pochłonięte przez 1. Otrzymujemy wtedy $e^x \ln(1)$, czyli mnożenie $0 \cdot \infty$, czyli tak naprawdę 0.

3 Zadanie 3

3.1 Opis problemu

Zadanie polega na wygenerowaniu macierzy Hilberta H_n (przy pomocy funkcji **hilb**), macierzy losowej R_n (przy pomocy funkcji **matcond**) i rozwiązaniu równania $b = Ax$, gdzie A – macierz, $x = (1, 1, \dots, 1)^T$, b – wektor prawych

stron, za pomocą metody eliminacji Gaussa ($x = A/b$) oraz poprzez odwrócenie macierzy ($x = A^{-1} * b$). Eksperymenty należy przeprowadzić:

- dla H_n - z rosnącym stopniem $n > 1$
- dla R_n - dla $n = 5, 10, 20$ z rosnącym wskaźnikiem uwarunkowania $c = 1, 10, 10^3, 10^7, 10^{12}, 10^{16}$

dla każdego przypadku należy policzyć błąd względny (\tilde{x}).

3.2 Rozwiązanie

Do rozwiązywania zadania zostały zaimplementowane funkcje służące do rozwiązania równania liniowego metodą Gaussa (**gaussianElimination()**) oraz metodą inwersji (**inversionMethod()**), a także funkcja licząca błąd względny uzyskanych rozwiązań (**errorCount()**).

3.3 Wyniki

| Wyniki dla macierzy Hilberta H_n | | | | |
|------------------------------------|------|--------------------|----------------------|------------------------|
| Rozmiar | Rząd | COND | Błąd względny Gaussa | Błąd względny inwersji |
| 1x1 | 1 | 1.0 | 0.0 | 0.0 |
| 2x2 | 2 | 1.928147006790e+01 | 5.661048867004e-16 | 1.404333387431e-15 |
| 3x3 | 3 | 5.240567775861e+02 | 8.022593772268e-15 | 0.000000000000e+00 |
| 4x4 | 4 | 1.551373873893e+04 | 4.137409622430e-14 | 0.000000000000e+00 |
| 5x5 | 5 | 4.766072502426e+05 | 1.682842629923e-12 | 3.354436058436e-12 |
| 6x6 | 6 | 1.495105864225e+07 | 2.618913302312e-10 | 2.016375940435e-10 |
| 7x7 | 7 | 4.753673565831e+08 | 1.260686722417e-08 | 4.713280397232e-09 |
| 8x8 | 8 | 1.525757553806e+10 | 6.124089555723e-08 | 3.077483903096e-07 |
| 9x9 | 9 | 4.931537564469e+11 | 3.875163418503e-06 | 4.541268303177e-06 |
| 10x10 | 10 | 1.602441699254e+13 | 8.670390237097e-05 | 2.501493411825e-04 |
| 11x11 | 11 | 5.222677939280e+14 | 1.582780815859e-04 | 7.618304284316e-03 |
| 12x12 | 11 | 1.751473190709e+16 | 1.339620837209e-01 | 2.589941208047e-01 |
| 13x13 | 11 | 3.344143497338e+18 | 1.103970111787e-01 | 5.331275639427e+00 |
| 14x14 | 12 | 6.200786263161e+17 | 1.455408712766e+00 | 8.714992751048e+00 |
| 15x15 | 12 | 3.674392953468e+17 | 4.696668350857e+00 | 7.344641453111e+00 |
| 16x16 | 12 | 7.865467778432e+17 | 5.415518954565e+01 | 2.984884207074e+01 |
| 17x17 | 12 | 1.263684342666e+18 | 1.370723668384e+01 | 1.051694237837e+01 |
| 18x18 | 12 | 2.244630992919e+18 | 9.134134521198e+00 | 7.575475905055e+00 |
| 19x19 | 13 | 6.471953976542e+18 | 9.720589712656e+00 | 1.223376139376e+01 |
| 20x20 | 13 | 1.355365790869e+18 | 7.549915039473e+00 | 2.206269725787e+01 |

| Wyniki dla macierzy losowej R_n | | | | |
|-----------------------------------|------|--------------------|----------------------|------------------------|
| Rozmiar | Rząd | COND | Błąd względny Gaussa | Błąd względny inwersji |
| 5x5 | 5 | 1.000000000000e+00 | 1.790180836525e-16 | 2.275280134514e-16 |
| 5x5 | 5 | 1.000000000000e+01 | 2.979040983897e-16 | 3.748544367384e-16 |
| 5x5 | 5 | 1.000000000000e+03 | 1.491372965516e-14 | 1.280949133596e-14 |
| 5x5 | 5 | 9.99999997246e+06 | 5.668391800431e-11 | 1.041250292910e-10 |
| 5x5 | 5 | 9.999787335635e+11 | 1.053021419619e-05 | 1.332416473127e-05 |
| 5x5 | 4 | 5.653235649955e+15 | 1.175643838705e-01 | 1.685436258410e-01 |
| 10x10 | 10 | 1.000000000000e+00 | 2.192514798397e-16 | 1.922962686384e-16 |
| 10x10 | 10 | 1.000000000000e+01 | 3.457769959780e-16 | 4.915166856007e-16 |
| 10x10 | 10 | 1.000000000000e+03 | 3.829867159113e-16 | 4.514118214889e-15 |
| 10x10 | 10 | 1.000000000263e+07 | 5.399383229208e-10 | 5.445265623845e-10 |
| 10x10 | 10 | 9.999840038091e+11 | 1.801229963125e-05 | 2.250802715155e-05 |
| 10x10 | 9 | 9.583832983647e+15 | 2.436173418446e-02 | 3.163821364268e-02 |
| 20x20 | 20 | 1.000000000000e+00 | 4.335559509131e-16 | 3.805652793121e-16 |
| 20x20 | 20 | 1.000000000000e+01 | 7.850462293419e-16 | 5.051209746510e-16 |
| 20x20 | 20 | 9.99999999999e+02 | 1.600539653396e-14 | 1.745445735611e-14 |
| 20x20 | 20 | 9.99999998702e+06 | 8.055483454194e-11 | 6.267467824323e-11 |
| 20x20 | 20 | 9.999542399355e+11 | 7.104570148002e-06 | 4.533715943910e-06 |
| 20x20 | 19 | 6.693353984402e+15 | 1.526719144206e-02 | 4.163410185773e-02 |

3.4 Wnioski

Przyglądając się otrzymanym wynikom widzimy, że wskaźnik uwarunkowania macierzy ma decydujący wpływ na dokładność rozwiązania układu równań, im wskaźnik uwarunkowania macierzy będzie większy tym większy jest błąd rozwiązania. Widać także wyraźnie, że macierz Hilberta jest macierzą źle uwarunkowaną – wskaźnik uwarunkowania dla macierzy H_n jest wielokrotnie większy niż dla macierzy R_n i im większa macierz Hilberta wskaźnik ten rośnie jeszcze bardziej. Możemy również zauważyć, że w przypadku macierzy Hilberta rozwiązując układ równań dużo bardziej dokładne wyniki otrzymaliśmy korzystając z metody inwersji.

4 Zadanie 4

4.1 Opis problemu

Zadanie polega na obliczeniu pierwiastków ”złośliwego wielomianu” Wilkinsona: $P(x) = x^{20} - 210x^{19} + 20615x^{18}1256850x^{17} + 53327946x^{16} - 1672280820x^{15} + 40171771630x^{14} - 756111184500x^{13} + 11310276995381x^{12} - 11307535010540395x^{10} - 10142299865511450x^9 + 63030812099294896x^8 - 311333643161390640x^7 + 1206647803780373360x^6 - 3599979517947607200x^5 + 8037811822645051776x^4 - 12870931245150988800x^3 + 13803759753640704000x^2 - 8752948036761600000x + 2432902008176640000$, ich sprawdzeniu oraz powtórzeniu obliczeń dla wielomianu Wilkinsona ze współczynnikiem -210 zmienionym na $-2 - 2^{23}$.

4.2 Rozwiązanie

Do wykonania zadania połączyliśmy się następującymi funkcjami dostępnymi w języku Julia w pakiecie Polynomials:

- **roots (P)** liczenie pierwiastków wielomianu P
- **Poly (p)** tworzenie wielomianu z tablicy p zawierającej współczynniki wielomianu
- **poly (p)** tworzenie wielomianu z tablicy p zawierającej miejsca zerowe wielomianu
- **polyval (P,x)** liczenie wartości wielomianu P w x z wykorzystaniem metody Hornera

Z wykorzystaniem powyższych funkcji tworzymy wielomiany P (na podstawie współczynników wielomianu Wilkinsona) oraz p (na podstawie miejsc zerowych wielomianu Wilkinsona). Liczymy miejsca zerowe wielomianu P oraz wyliczamy: $|P(z_k)|$, $|p(z_k)|$, $|z_k - k|$, gdzie $0 \leq k \leq 20$.

4.3 Wyniki

Tabele z wynikami zostały umieszczone na ostatniej stronie.

Pierwiatki wielomianu Wilkinsona policzone metodą **roots**:

[0.9999999999999999, 2.0000000000283182, 2.9999999995920965, 3.9999999837375317, 5.000000665769791, 5.999989245824773, 7.000102002793008, 7.999355829607762, 9.002915294362053, 9.990413042481725, 11.025022932909318, 11.953283253846857, 13.07431403244734, 13.914755591802127, 15.075493799699476, 15.946286716607972, 17.025427146237412, 17.99092135271648, 19.00190981829944, 19.999809291236637]

4.4 Wnioski

Możemy zauważyć, że obliczone wartości pierwiastków wielomianu Wilkinsona nie różnią się znacząco od ich rzeczywistych wartości, szczególnie dla mniejszych wartości pierwiastków, dla których mamy błąd względny rzędu 10^{-13} , 10^{-11} , 10^{-10} . Można by powiedzieć, że odchylenia wartości pierwiastków są niewielkie, więc możemy je zignorować. Jednakże okazuje się, że pomimo nieznacznego błędu, licząc wartość wielomianu Wilkinsona dla obliczonych pierwiastków zamiast spodziewanego zera dostajemy wartości rzędu 10^6 i większe. Dzieje się tak, dlatego że współczynniki wielomianu są bardzo duże i błąd obliczenia pierwiastka jest za każdym razem powielany. Nie bez znaczenia jest również, to że arytmetyka Float64 ma w języku Julia od 15 do 17 cyfr znaczących, zatem nie wszystkie współczynniki wielomianu będą dokładnie reprezentowane. Widać to jeszcze wyraźniej dla wielomianu Wilkinsona z zaburzonym współczynnikiem. W wielomianie, który ma wszystkie miejsca zerowe rzeczywiste, nagle pojawiają się pierwiastki zespolone.

5 Zadanie 5

5.1 Opis problemu

Zadanie polega na przeprowadzeniu eksperymentów, z wykorzystaniem modelu logistycznego opisanego następującym równaniem rekurencyjnym:

$$p_{n+1} := p_n + rp_n(1 - p_n) \text{ dla } n = 1, 2, 3, \dots$$

1. dla danych $p = 0.01$ oraz $r = 3$ wykonać 40 iteracji, następnie wykonać ponownie 40 iteracji, gdzie po 10 iteracji zastosować obcięcie do trzech cyfr po przecinku.
2. dla danych $p = 0.01$ oraz $r = 3$ wykonać 40 iteracji dla arytmetyk Float32, Float64

5.2 Rozwiązanie

W celu rozwiązania zadania zostały zaimplementowane 2 algorytmy, wykonujące podaną rekurencję dla zadanych danych, w tym jeden uwzględniający dokonywanie obcięć.

5.3 Wyniki

| Tabela przedstawiająca wybrane iteracje | | | |
|---|-------------|---------------------|-----------------------|
| Nr | Float32 | Float32 z obcięciem | Float64 |
| 1 | 0.0397 | 0.0397 | 0.0397 |
| 2 | 0.15407173 | 0.15407173 | 0.154071730000000002 |
| 3 | 0.5450726 | 0.5450726 | 0.5450726260444213 |
| 4 | 1.288978 | 1.288978 | 1.2889780011888006 |
| 5 | 0.17151916 | 0.17151916 | 0.17151914210917552 |
| 6 | 0.59782016 | 0.59782016 | 0.5978201201070994 |
| 7 | 1.3191137 | 1.3191137 | 1.3191137924137974 |
| 8 | 0.05627179 | 0.05627179 | 0.056271577646256565 |
| 9 | 0.21558762 | 0.21558762 | 0.21558683923263022 |
| 10 | 0.7229164 | 0.7229164 | 0.722914301179573 |
| 11 | 1.3238412 | 1.323813 | 1.3238419441684408 |
| 12 | 0.03769815 | 0.03780961 | 0.03769529725473175 |
| 13 | 0.14652914 | 0.14694974 | 0.14651838271355924 |
| 14 | 0.5217042 | 0.5230163 | 0.521670621435246 |
| 15 | 1.270291 | 1.271427 | 1.2702617739350768 |
| 20 | 0.5943414 | 0.5096725 | 0.5965293124946907 |
| 21 | 1.3176405 | 1.2593918 | 1.3185755879825978 |
| 22 | 0.062032342 | 0.2793641 | 0.058377608259430724 |
| 30 | 0.8095675 | 0.6959832 | 0.37414648963928676 |
| 31 | 1.2720714 | 1.330755 | 1.0766291714289444 |
| 32 | 0.23378885 | 0.0102933645 | 0.8291255674004515 |
| 39 | 1.1972201 | 1.241536 | 0.0029091569028512065 |
| 40 | 0.48887253 | 0.341909 | 0.011611238029748606 |

5.4 Wnioski

Przeprowadzone eksperymenty pokazują, że pozornie drobne zmiany w danych, jak obcięcie kilku miejsc po przecinku (które mogłoby w rzeczywistości wynikać np. z niedokładnego przechowywania danych) mogą mieć bardzo duży wpływ na wyniki końcowe.

W przypadku obliczeń wykonywanych w różnych arytmetykach otrzymaliśmy jeszcze bardziej różniące się wyniki. Różnice te wynikają z różnej precyzji obu tych arytmetyk i także pogłębiają się wraz z kolejnym wywołaniem funkcji rekurencyjnej.

6 Zadanie 6

6.1 Opis problemu

Zadanie polega na przeprowadzeniu 40 iteracji równania rekurencyjnego:

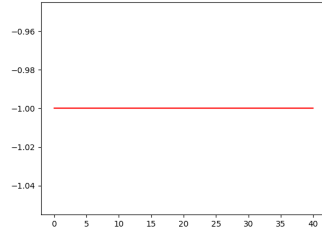
$x_{n+1} := x_n^2 + c$, dla $n = 1, 2, 3, \dots$ dla danych:

1. $c = -2$ $x_0 = 1$
2. $c = -2$ $x_0 = 2$
3. $c = -1$ $x_0 = 1.9999999999999999$
4. $c = -1$ $x_0 = 1$
5. $c = -1$ $x_0 = -1$
6. $c = -1$ $x_0 = 0.75$
7. $c = -1$ $x_0 = 0.25$

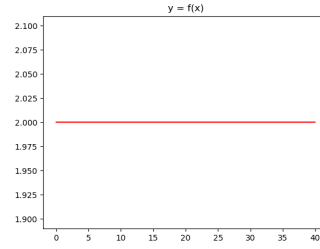
6.2 Rozwiązanie

W programie została zaimplementowana funkcja licząca rekurencyjnie podane wyrażenie, jako parametry przyjmująca c i x_0 . Użyto także biblioteki matplotlib Pythona, w celu narysowania wykresów iteracji graficznej.

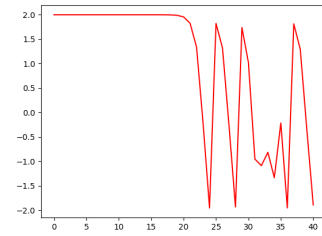
6.3 Wyniki



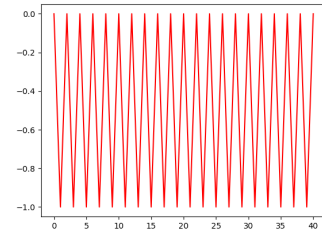
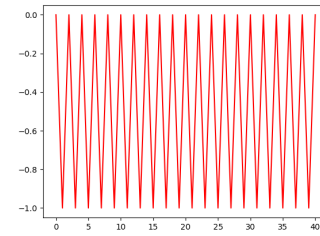
$$c = -2 \quad x_0 = 1$$



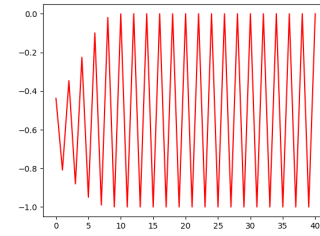
$$c = -2 \quad x_0 = 2$$



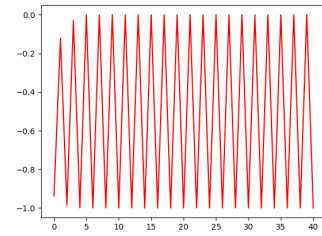
$$c = -1 \quad x_0 = 1.9999999999999999 \quad c = -1 \quad x_0 = 1$$



$$c = -1 \quad x_0 = -1$$



$$c = -1 \quad x_0 = 0.75$$



$$c = -1 \quad x_0 = 0.25$$

6.4 Wnioski

W tym zadaniu mamy doczynienia z podobnym problemem co w zadaniu 5. Dla podpunktu 1) i 2) otrzymaliśmy funkcje stałe i dla parametrów z tych podpunktów

tów rekurencje rzeczywiście tworzą ciąg stały. Funkcja zachowuje się stabilnie. W podpunkcie 3) można zaobserwować jak niedokładność zapisu, po niedługim czasie sprawia, że otrzymywane wyniki stają się nieuporządkowane. W podpunktach 4), 5) funkcja także zachowuje się stabilnie, a kolejne jej iteracje, dają rzeczywiste wartości kolejnych elementów ciągu. Natomiast dla podpunktów 7), 8) możemy zaobserwować jak po kilku iteracjach funkcja również się stabilizuje. Z powyższego zadania można wysnuć wniosek, że przeprowadzenie iteracji graficznych może pomagać nam w ocenie prawdziwości wyników obliczeń.

Tabele do zadania 4

| Wyniki dla wielomianu Wilkinsona | | | |
|----------------------------------|---------------------|---------------------|------------------------|
| Nr | $ P(z_k) $ | $ p(z_k) $ | $ z_k - k $ |
| 1. | 36352.0 | 38400.0 | 3.0109248427834245e-13 |
| 2. | 181760.0 | 198144.0 | 2.8318236644508943e-11 |
| 3. | 209408.0 | 301568.0 | 4.0790348876384996e-10 |
| 4. | -3.106816e6 | -2.844672e6 | 1.626246826091915e-8 |
| 5. | -2.4114688e7 | -2.3346688e7 | 6.657697912970661e-7 |
| 6. | -1.20152064e8 | -1.1882496e8 | 1.0754175226779239e-5 |
| 7. | -4.80398336e8 | -4.78290944e8 | 0.00010200279300764947 |
| 8. | -1.682691072e9 | -1.67849728e9 | 0.0006441703922384079 |
| 9. | -4.465326592e9 | -4.457859584e9 | 0.002915294362052734 |
| 10. | -1.2707126784e10 | -1.2696907264e10 | 0.009586957518274986 |
| 11. | -3.5759895552e10 | -3.5743469056e10 | 0.025022932909317674 |
| 12. | -7.216771584e10 | -7.2146650624e10 | 0.04671674615314281 |
| 13. | -2.15723629056e11 | -2.15696330752e11 | 0.07431403244734014 |
| 14. | -3.65383250944e11 | -3.653447936e11 | 0.08524440819787316 |
| 15. | -6.13987753472e11 | -6.13938415616e11 | 0.07549379969947623 |
| 16. | -1.555027751936e12 | -1.554961097216e12 | 0.05371328339202819 |
| 17. | -3.777623778304e12 | -3.777532946944e12 | 0.025427146237412046 |
| 18. | -7.199554861056e12 | -7.1994474752e12 | 0.009078647283519814 |
| 19. | -1.0278376162816e13 | -1.0278235656704e13 | 0.0019098182994383706 |
| 20. | -2.7462952745472e13 | -2.7462788907008e13 | 0.00019070876336257925 |

| Wybrane wyniki dla wielomianu Wilkinsona ze zmienionym współczynnikiem | | | |
|--|---|---|--|
| Nr | z_k | $ P(z_k) $ | $ p(z_k) $ |
| 1. | 0.999999999998357 + 0.0im | 20992.0 + 0.0im | 22016.0 + 0.0im |
| 2. | 2.0000000000550373 + 0.0im | 349184.0 + 0.0im | 365568.0 + 0.0im |
| 3. | 2.99999999660342 + 0.0im | 2.221568e6 + 0.0im | 2.295296e6 + 0.0im |
| 4. | 4.000000089724362 + 0.0im | 1.046784e7 + 0.0im | 1.0729984e7 + 0.0im |
| 5. | 4.99999857388791 + 0.0im | 3.9463936e7 + 0.0im | 4.3303936e7 + 0.0im |
| 10. | 10.095455630535774 - 0.6449328236240688im | 6.226891264e9 - 3.499985376e9im | 5.2861543168e11 - 1.394428986688e12im |
| 11. | 10.095455630535774 + 0.6449328236240688im | 6.226891264e9 + 3.499985376e9im | 5.2861543168e11 + 1.394428986688e12im |
| 12. | 11.793890586174369 - 1.6524771364075785im | 1.2597167616e10 - 3.1124973568e10im | -2.8965491949568e13 - 1.5728191007232e13im |
| 15. | 13.992406684487216 + 2.5188244257108443im | 6.2258671616e10 + 8.5938636096e10im | -9.26688892655616e14 - 2.29123777935168e14im |
| 19. | 19.5024423688181 + 1.940331978642903im | 2.046021647872e12 + 9.317425465376e12im | -1.3107912683617587e17 + 4.0454423319554586e17im |
| 20. | 20.84691021519479 + 0.0im | 1.114453504512e13 + 0.0im | 1.3743733197249713e18 + 0.0im |

| Wybrane wyniki dla wielomianu Wilkinsona ze zmienionym współczynnikiem | | |
|--|---|------------------------|
| Nr | z_k | $ z_k - k $ |
| 1. | 0.999999999998357 + 0.0im | 1.6431300764452317e-13 |
| 2. | 2.0000000000550373 + 0.0im | 5.503730804434781e-11 |
| 3. | 2.99999999660342 + 0.0im | 3.3965799062229962e-9 |
| 4. | 4.000000089724362 + 0.0im | 8.972436216225788e-8 |
| 5. | 4.99999857388791 + 0.0im | 1.4261120897529622e-6 |
| 10. | 10.095455630535774 - 0.6449328236240688im | 0.6519586830380407 |
| 11. | 10.095455630535774 + 0.6449328236240688im | 1.1109180272716561 |
| 12. | 11.793890586174369 - 1.6524771364075785im | 1.665281290598479 |
| 15. | 13.992406684487216 + 2.5188244257108443im | 2.7128805312847097 |
| 19. | 19.5024423688181 + 1.940331978642903im | 2.0043294443099486 |
| 20. | 20.84691021519479 + 0.0im | 0.8469102151947894 |